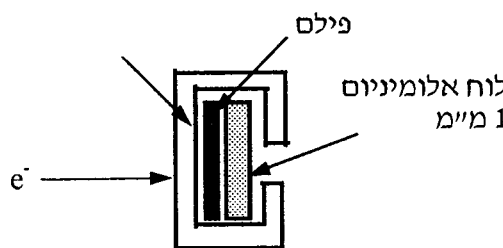


24/7/92

F: 1384

## אפיון תותח אלקטרוני

מ. קנטר, ז. קטריבס



### 1. מדידת צורת האלומה בעזרת (X rays) Bremsstrahlung

#### 1.1 שיטה

האלומה פוגעת ברדיד האלומיניום, נבלעת ויוצרת קרינת X שנבלעת בפilm כאשר טווח האלקטרונים קטן מעובי הרדיום וטווח קרינת ה-X גדול. לוח האלומיניום העבה מחזיר חלק מקרינת ה-X לפilm. התוחם הרצוי לציפוי השחרת הפilm הוא 4-2. כאשר אינטגרל השטף ייחסיל -  $\log$  ההשערה. הטווח של קרינת  $\beta$  באלומיניום נתון ע"י:

$$R_{(\text{gr/cm}^2)} = 0.407 E_{(\text{MeV})}^{1.38} = 0.407 \cdot 0.05^{1.38} = 6.5 \cdot 10^{-3} \text{ gr/cm}^2 = 6.5 \cdot 10^{-3} / 2.7 \text{ cm} = 0.024 \text{ mm}$$

הטווח של קרינת X באנרגיה של 50 keV באלומיניום הוא כ- 7 mm כך שאינה נבלעת כמעט ברדיד. בשיטה זו צריך להזוזר לא להגדיל מעבר ל-  $35^\circ\text{C}$  את טמפרטורת הפilm. נניח אלומה בקוטר 30 mm ובעובי mm 0.1 אלומיניום תהיה המסה

$$M_{\text{Al}} = \frac{\pi \cdot 3^2}{4} \cdot 0.01 \cdot 2.7 = 0.19 \text{ gr}$$

עלית הטמפרטורה לפולס של 1A ו- 10 ms תהיה

$$\Delta T = \frac{E}{mc} = \frac{50 \cdot 10^3 \cdot 1 \cdot 10^{-5}}{0.19 \cdot 0.22 \cdot 4.2} = 3^\circ\text{C}$$

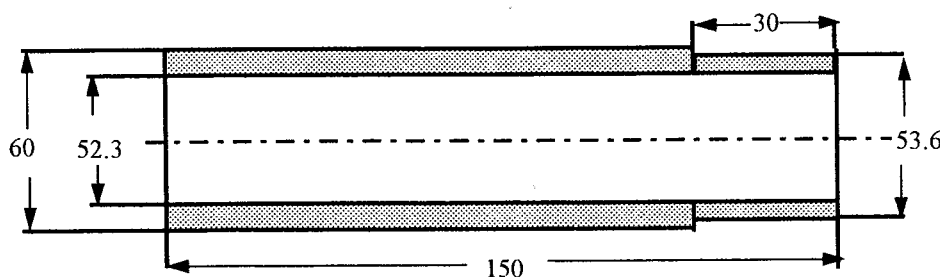
צריך לכן להמתין מספיק זמן בין הפולסים כדי שהחום ישפיק להתרזר על כל הרדיום.

#### 2. מדידות

המדידות נעשו בשני מקומות:

א. במקומות של ה-peper pot דהיום 95 mm מהיציאה של הצינור הדיפרנציאלי (SKUtroו הפנימי  $60^\circ$ ) מידות הפilm  $70 \text{ mm}^2$ .

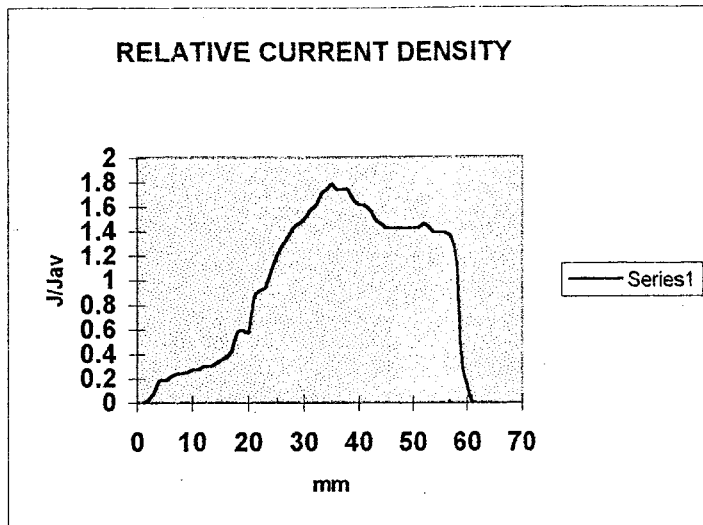
ב. בכניסה לצינור הדיפרנציאלי. הפilm הורכב על מבנה עגול מאוקולון (okolone) שהורכב בלחץ על צינור שמידתו החיצונית מותאמת למידה הפנימית של הצינור הדיפרנציאלי.



בקטע הцентр של הצינור ניתן להרכיב Pearson. קוטר הפילם כ - mm 56. על מנת לציין את מיקום הפילם חיבורו שבב עופרת במקומות ידוע.

### 1.3 תוצאות

א. מדידה עם scraper (50 mm) ללא הפעלה של סלילי מיקוד והטיה במקומות א. האלומה איננה הומוגנית וקוטרה החיצוני נראה במדוייק mm 56. מדידה זו היא תוצאה של 10 פולסים של A 1.2A כל ממ"ס" Q=120A. היחסות היחסית של הפילם נמצאה בדניזיטומטר והתוצאה של ציפויות הזרם היחסית נתונה בציור מס' 1. זווית הפיזור

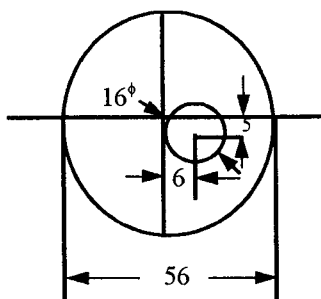
$$\alpha = \operatorname{tg}^{-1} \frac{56 - 50}{95} = 3.6^\circ$$


ציור מס' 1 - ציפויות זרם יחסית לאורך ציר Y ( $X = 0$ ) ( $X = 0$ )

ב. מדידה ללא scraper כמו בסעיף א.

קוטר האלומה mm 68.  $\alpha = \operatorname{tg}^{-1} \frac{68 - 60}{95} = 4.8^\circ$

ג. מדידה במקומות ב ללא זרם בסלילי המיקוד סה"כ 10 פולסים של A·μs-0.8A. נראית כי קיימים ריכוז של האלומה בכתם חלק ניכר מהאלומה מפוזר על כל השטח.

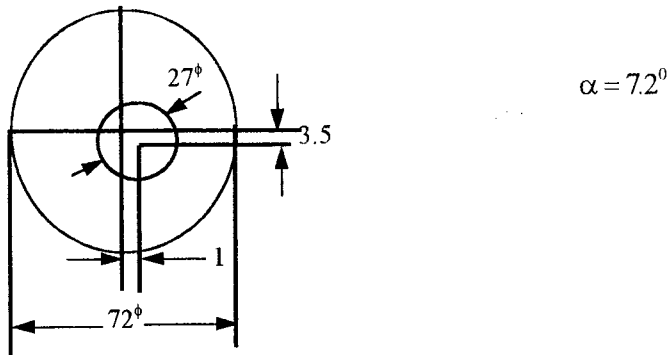


ד. מדידה כמו בסעיף ב' עם סלילי מיקוד והטיה

$$\text{Lens 1} = 7.35\text{A} \quad \text{lens 2} = 3.75\text{A}$$

$$I_H = 0.6\text{A} \quad I_V = 0.1\text{A} \quad I_{HeI} = 0.8\text{A}$$

7 פולסים של  $A = 0.96 \text{ Ams}$  סה"כ  $Q = 67$   
הכתם במרכז חזק ונראה שרוב הזרם  
מונעכו בו

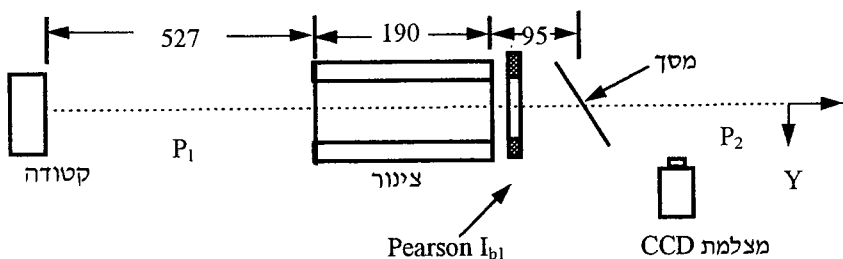


#### 1.4 מסקנות

- א. הצינור והקטודה אינם ממורכזים (או מכובנים).
- ב. צפיפות הזרם אינה אחידה (שרטוט 1).
- ג. בקצה הצינור ( $60^\circ$ ) אלומה מתבדרת ללא סלילי מיקוד ב- $4.8^\circ$  ועם סלילי מיקוד ב- $7.2^\circ$ . בקוטר  $50^\circ$  (על scraper) הזרות היא  $3.6^\circ$ .
- ד. בתנאים האופטימליים שקבע מיכאל עבר סלילי המיקוד וההטייה האלומה מרכזות בכתם בקוטר  $27\text{mm}$  במרכזו  $27\text{mm}$ ,  $x = -3.5\text{mm}$ ,  $y = 1\text{ mm}$ .

#### 2. מדידות כורת האלומה בעוזרת מסך

##### 2.1 שיטה



המסך נמצא בזווית של  $45^\circ$  ביחס לצינור (או ביחס לציר Z) כך שבכוון Y קיימת הגדלה פי 1.41 ובכוון ציר X הגדלה היא -1.  
שיטת זו מהירה מאד לעומת שיטת ה-rays אבל לא ניתן לקבל בעורתה תוצאות מדוניות. פרט לצורת האלומה נמדד הזרם ביציאה מהצינור בעוזרת Pearson (I<sub>b1</sub>) שהורכב על הצינור הפנימי (52 מ"מ). P<sub>1</sub> ו- P<sub>2</sub> הם איזורי מדידת הלוח.

##### 2.2 מדידות

על המסך נמדד גודל הכתם ומיקומו כתלות בזרם האלומה, מתח קטודה-אנודה, מתח קטודה-שריג, והזרמים בסלילי המיקוד, סלילי ההטייה וסליל zJolem Helemholtz.

##### 2.3 תוצאות

התוצאות התקבלו בתנאים הבאים:

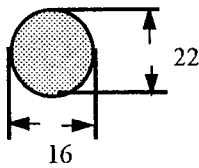
$$I_f = 14.1 \text{ A} (9.2 \text{ V}) \quad V_{CA} = -43 \text{ kV} \quad V_{gc} = -2 \text{ kV} \quad V_{ge} = 14 \text{ kV}$$

$$P_1 = 1.7 \cdot 10^{-7} \text{ torr} \quad P_2 = 4 \cdot 10^{-7} \text{ torr}$$

תנאים אופטימליים מבחינת גודל הכתם התקבלו כאשר:

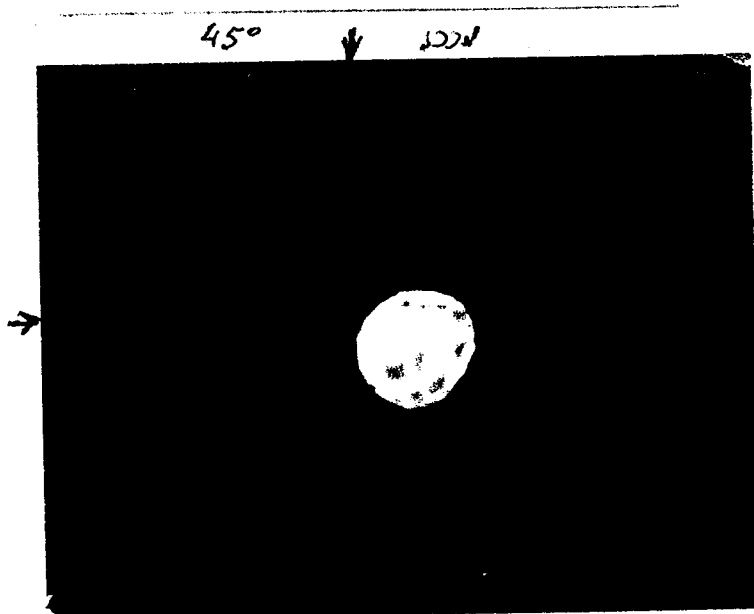
$$I_{L1} = 7.35A \quad I_{L2} = 3.8A \quad I_{V1} = 0 \quad I_{HI} = 0 \quad H_{HeI} = 0.45A$$

זרם הקתודה  $I_c = 1344 \text{ mA}$   
 זרם ביציאה מהצינור  $I_{b1} = 1180 \text{ mA}$   
 צורת הכתם לאחר התקון



הזרמים:  $I_{V1}$ ,  $I_{L1}$ ,  $I_{HI}$  ו-  $H_{HeI}$  מושפעים גם על מיקום האלומה וגם על גודלה.

- .1 ו-  $I_c$  - כאשר המפסק למעלה, הגדלת הזרם מרימה את האלומה ל - X+ בערך 3mm/A.
- .2  $I_H$  - מפסק למעלה, בהגדלת הזרם האלומה זהה ל - Y+ בערך 5mm/A.
- .3  $I_{HeI}$  - מושפע על מיקום וצורה עדין לא ברור כמותית.
- .4  $V_c$  - מושפע, אולם כדי להגיע לאופטימום, השינויים ב -  $I_{L1}$  ו-  $I_c$  נמצאים בתחום  $\pm 0.2A$  כאשר עולמים מ - 43kV ל - 46kV.
- .5 תאוות הקתודה איננה ממורכזת ביחס לצינור.
- .6 התמונה מייצגת נמצאת בציור מס' 2.



ציור מס' 2

#### 2.4 מסקנות

- .1 קוור התמונה בתנאים אופטימליים  $16 \times 22 \text{ mm}^2$ .
- .2 הטרנסミסיה מהקתודה עד ליציאה מהצינור כ - 88%.
- .3 עם שינוי הפרמטרים של האלומה משתנה צורת הכתם ומיקומו.
- .4 הקתודה איננה ממורכזת עם ציר הצינור.

#### 3. איפיון מערכת קורת זרם הקתודה

זרם האמיסיה של הקתודה מוגבל ע"י הטמפרטורה של הקתודה והמטען המרחבי.

### 3.1 זרם האmissיה של הקתודה בהגבלה טמפרטורה

האmissות הרוوية של הקתודה נתונה בקרוב ע"י נוסחת Richardson-Dushman.

$$J = A_0 T^2 e^{-\Phi/kT}$$

צפיפות הזרם ברוوية

$J$  -

קבוע Dushman

$A_0$  -

פונקציית העבודה של הקתודה

$\Phi$  -

קבוע Boltzman

$k$  -

$$\text{עבור מתכות טהורות } K^2 = A_0 = 120 \text{ A/cm}^2$$

בדרכ' קתודות מורכבות מחומר בסיסי מתכתי שעליו סופחים תערובת של חומרים בשכבה דקה. בשיטה זו קטנה פונקציית העבודה אבל יחד עם זאת קטן גם הקבוע  $A_0$ . הקתודה שלנו היא מסווג Dispenser Cathodes על טונגסטן חריר, ולכן קיימים מאגר המספק חומר למשטח החיצוני של הקתודה.

$$\text{בקתודה שלנו } K^2 = 1.7 \text{ eV}, A = 2.4 \text{ A/cm}^2 \text{ וכאן ברוوية}$$

$$J = 2.4 \cdot 1400^2 \cdot e^{\frac{-1.7}{8.610^{-5} \cdot 1400}}$$

$$J = 3.5 \text{ A/cm}^2$$

הקתודה שטחה  $1.77 \text{ cm}^2$  ולכן בקטודה חדשה יש לצפות לזרם רוויה של כ-6A. המדידות נעשו בקטודה ישנה שנחשפה לאוויר. תנאי המדידה:

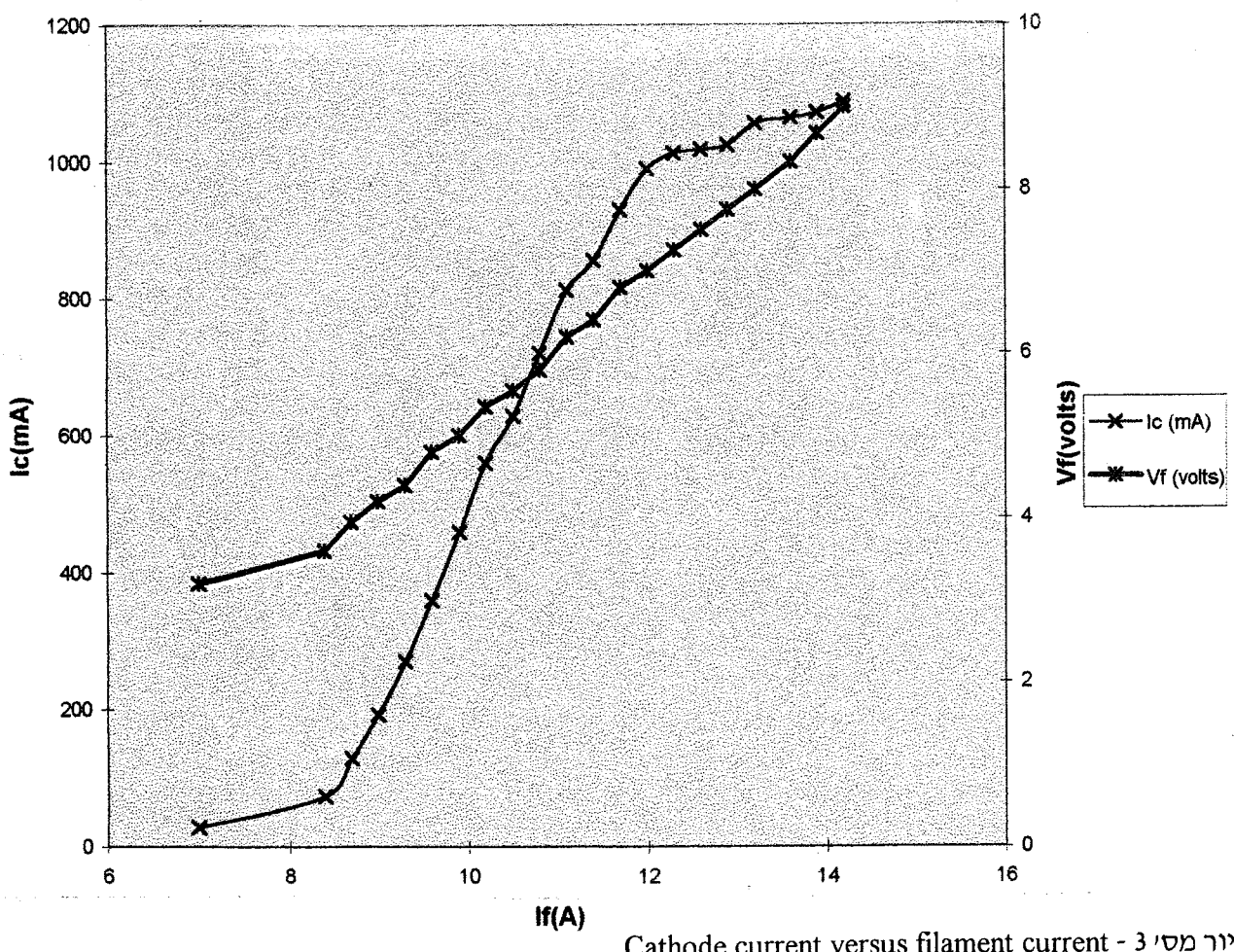
$$P_1 = 2 \cdot 10^{-8} \text{ torr}$$

$$P_2 = 7 \cdot 10^{-7} \text{ torr}$$

$$V_{gc-} = -6 \text{ kV}$$

$$V_{gc+} = 12 \text{ kV}$$

תוצאות המדידה נתונות בציור מס' 3.



5

מתוך הגרף ניתן לראות שזרם חימום של 14A האמיסיה מוגבלת ע"י טמפרטורת הקתודה.

### 3.2 זרם אמיסיה המוגבל ע"י מטען מריחבי

פתרון אנלטי ניתן למצוא עבור זרם המוגבל ע"י מטען מריחבי עבור הגיאומטריה של Pierce. אם מניחים זרימת אלקטرونים למיינרים וצפיפות זרם זהה בחוץ האלומה, הפתרון באלומה נתון ע"י משוואת פואסון ומוחזק לאלומה ע"י משוואת פלטן אשר בגבול צריך להתקיים

$$\frac{\partial V}{\partial r} = 0, \quad \nabla^2 V = 0, \quad V = f(z), \quad \frac{\epsilon}{\rho} \nabla^2 V = -$$

z - נמדד מהקתודה בכיוון הציר

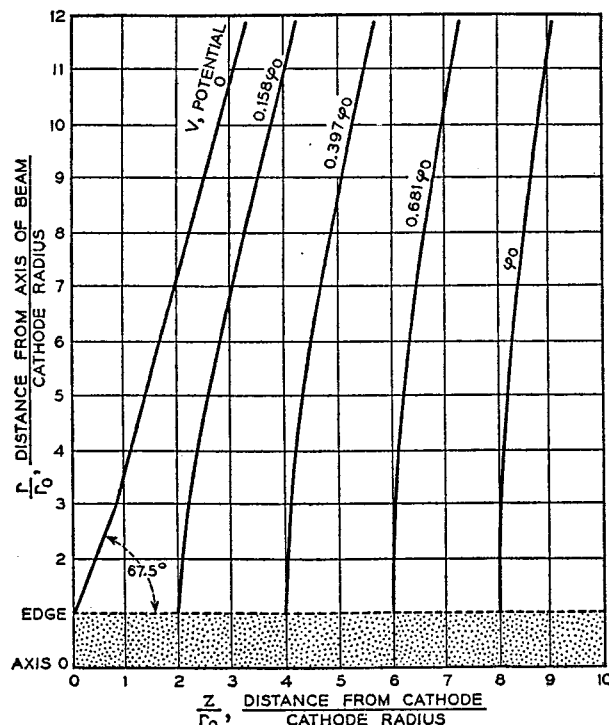
z - ניצב לציר האלומה

(f(z) - היא פונקציה המתאימה לפתרון המשוואות).

הנחה היא שאם צורות שתי האלקטרודות (קתודה-אנודה) מתאימות לפתרון, חלוקת הפוטנציאלי בכיוון Z תתאים את עצמה לפתרון. כמו כן מניחים שאפקטים מגנטיים זניחים.

באופן כללי הפתרון יהיה בצורה הבאה  $V = j \cdot z = c \cdot \frac{V^{\frac{2}{3}}}{Z^2}$  כאשר c הוא קבוע ושווה בקירוב ל  $-2.3 \cdot 10^{-6}$ .

ביחידות MKS. פתרון של צורת האלקטרודות עבור אלומה בעלת חתך מעגלי קבוע נתון בציור מס' 4. הצורה הגיאומטרית של מבנה הקתודה-שריג במערכת שלונו איננה בגיאומטריית Pierce מדויקת וכן הפתרון יתקבל באמצעות תוכנת Hermansfeld.



ציור מס' 4 - צורת האלקטרודות עבור זרימת אלקטرونים באלומה בעלת חתך מעגלי קבוע

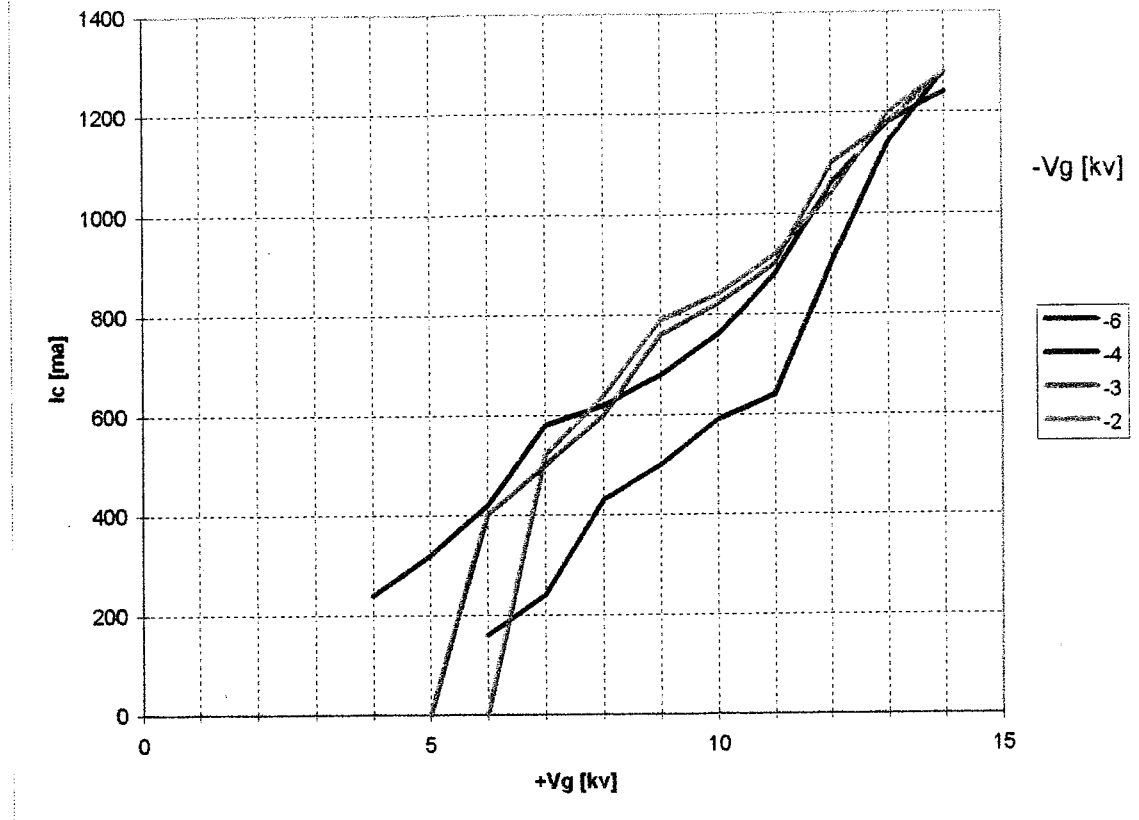
כך שניתן לסכם שזרם האלומה ( $I$ ) ניתן לתואר ע"י הפרמטרים הבאים:

$$I_c = f(T_c, V_{gc}, V_{cA}, G)$$

כאשר:  $T_c$  - טמפרטורת הקתודה,  $V_{gc}$  - מתח שריג-קתודה,  $G$  - הגיאומטריה של המערכת.  $V_{cA}$  - מתח קתודה-אנודה,

בניסויים שערךנו בדקנו את השפעת  $V_{gc}$  ו-  $V_{cA}$ . זרם החימום של הקטודה נקבע ל- 14A. המתח השלילי של השrieg נבדק בתחום 0-6kV, והמתוך החיווי של השrieg נבדק בתחום -4 - 14kV. המתח השילילי של השrieg קטן מ- 0.6kV- בתחום מתוך אנודה 46kV - 43V אין זרם קטודה. תוצאות הניסויים נתונות בציור מס' 5.

### INJECTOR CHARACTERISTICS



ציור מס' 5 - אפיון מערכת הבדיקה שrieg - קטודה

### 3.3 מסקנות

- בתוחום הלינארי של חימום הקטודה האמיסייה נתונה ע"י  $I_c = 238 I_f(A) \text{ ma} = 238$
- האמיסייה ברויה קטנה מהתיאורטי במידה ניכרת כנראה בגל התישנות וזיהום הקטודה.
- במתוך Shrieg - קטודה שלילי קטן מ- 0.6kV אין זרימת אלקטرونים ללא תלות במתוך האנודה.
- ההתנגדות הדינמית של Shrieg - קטודה שווה בקירוב ל-  $8.75k\Omega$ .
- למתוך קטודה אנודה בתחום 3kV השפעה קטינה על גודל זרם הקטודה.